

Заметим, что возгорание и затухание резонансной ПЛ, обусловленной даже однократным рассеянием поляритонов, как видно из (10) и (11), носят неэкспоненциальный характер, а при  $t/\tau_\beta \ll 1$

$$f_{\beta\beta'}(t) = \frac{1}{6} t^3 / (\tau_\beta \tau_{\beta'}^2).$$

Результаты численного расчета будут приведены и проанализированы в отдельной статье.

В заключение автор пользуется случаем сердечно поблагодарить Г. Е. Пикуса за ценные советы при обсуждении.

#### Список литературы

- [1] Аавиксоо Я. Ю., Липпмаа Я. Э., Фрейберг А. М., Савихин С. Ф. // ФТТ. 1989. Т. 31. № 3. С. 203—210.
- [2] Пикус Г. Е., Собиров М. М., Юлдашев Н. Х. // ЖЭТФ. 1985. Т. 89. № 2 (8). С. 635—641.
- [3] Ивченко Е. Л., Пикус Г. Е., Юлдашев Н. Х. // ЖЭТФ. 1981. Т. 80. № 3. С. 1228—1245.

Физико-технический институт  
им. А. Ф. Иоффе РАН  
Санкт-Петербург

Поступило в Редакцию  
16 мая 1992 г.

УДК 538.945.539.166

© Физика твердого тела, том 34, № 10, 1992  
Solid State Physics, vol. 34, N 10, 1992

## ТЕНЗОР КРИСТАЛЛИЧЕСКОГО ГЭП В УЗЛАХ МЕДИ РЕШЕТОК RBa<sub>2</sub>Cu<sub>3</sub>O<sub>7</sub>. КОЭФФИЦИЕНТ ШТЕРНХЕЙМЕРА ДЛЯ ЦЕНТРОВ Cu<sup>2+</sup>

Д. Ф. Мастеров, Ф. С. Насрединов, П. П. Серегин, Ч. С. Сайдов,  
Е. Б. Шадрин, О. К. Щербатюк

Пространственное распределение дырок в решетках высокотемпературных сверхпроводников типа RBa<sub>2</sub>Cu<sub>3</sub>O<sub>7</sub> (R = Nd, Sm, Eu, Gd, Yb, Er, Ho) может быть определено из сравнения экспериментальных и расчетных параметров диагонализированного тензора градиента электрического поля (ГЭП), создаваемого в узлах меди ионами кристаллической решетки [1]. По-видимому, наиболее надежная информация такого рода может быть получена методом эмиссионной мессбауэровской спектроскопии на изотопе <sup>67</sup>Cu(<sup>67</sup>Zn): после распада изотопа <sup>67</sup>Cu в узлах меди оказываются центры <sup>67</sup>Zn<sup>2+</sup>, для которых считается пренебрежимо малым вклад валентных электронов в суммарный ГЭП на ядрах <sup>67</sup>Zn [2]. Последнее утверждение носит принципиальный характер и требует дополнительного обоснования.

Настоящая работа посвящена определению параметров тензора ГЭП в узлах меди решеток RBa<sub>2</sub>Cu<sub>3</sub>O<sub>7</sub> (R = Nd, Gd, Y, Yb) методом эмиссионной мессбауэровской спектроскопии на изотопе <sup>67</sup>Cu (<sup>67</sup>Zn). Демонстрируется корреляция между изменением главной компоненты тензора кристаллического ГЭП на ядрах

Параметры эмиссионных мессбауэровских спектров  $^{67}\text{Cu}$  ( $^{67}\text{Zn}$ ), расчетные величины главной компоненты тензора кристаллического ГЭП в узлах Cu (1) и Cu (2), постоянные квадрупольного взаимодействия для центров  $^{63}\text{Cu}$  (2) в решетках  $\text{RBa}_2\text{Cu}_3\text{O}_7$

Керамика	Центр	$^{67}\text{Zn}$ $e^2Qq$ , МГц		$eq^3$ , $e/\text{\AA}^3$	Расчет $eq_{kp}$ , $e/\text{\AA}^3$	$^{63}\text{Cu}$ [6] $e^2Qq$ , МГц
$\text{NdBa}_2\text{Cu}_3\text{O}_7$	$^{67}\text{Zn}^{2+}$ (1)	19.95	0.97	0.256	0.9642	
	$^{67}\text{Zn}^{2+}$ (2)	11.55	$\leq 0.2$	0.148	0.5424	
	$^{63}\text{Cu}^{2+}$ (2)					66.2
$\text{SmBa}_2\text{Cu}_3\text{O}_7$	$^{63}\text{Cu}^{2+}$ (2)				0.5460	65.2
	$^{63}\text{Cu}^{2+}$ (2)				0.5484	64.8
	$^{67}\text{Zn}^{2+}$ (1)	20.05	0.97	0.257	0.9648	
$\text{GdBa}_2\text{Cu}_3\text{O}_7$	$^{67}\text{Zn}^{2+}$ (2)	11.70	$\leq 0.2$	0.150	0.5510	
	$^{63}\text{Cu}^{2+}$ (2)					64.6
	$^{67}\text{Zn}^{2+}$ (1)	20.10	0.95	0.258	0.9690	
$\text{YBa}_2\text{Cu}_3\text{O}_7$	$^{67}\text{Zn}^{2+}$ (2)	11.80	$\leq 0.2$	0.151	0.5553	
	$^{63}\text{Cu}^{2+}$ (2)					63.0
	$^{63}\text{Cu}^{2+}$ (2)				0.5563	63.0
$\text{HoBa}_2\text{Cu}_3\text{O}_7$	$^{63}\text{Cu}^{2+}$ (2)				0.5585	
	$^{63}\text{Cu}^{2+}$ (2)					62.8
	$^{67}\text{Zn}^{2+}$ (1)	20.15	0.97	0.258	0.9722	
$\text{ErBa}_2\text{Cu}_3\text{O}_7$	$^{67}\text{Zn}^{2+}$ (2)	11.80	$\leq 0.2$	0.152	0.5613	
	$^{63}\text{Cu}^{2+}$ (2)					61.8
	$^{67}\text{Zn}^{2+}$ (1)					
$\text{YbBa}_2\text{Cu}_3\text{O}_7$	$^{67}\text{Zn}^{2+}$ (2)					
	$^{63}\text{Cu}^{2+}$ (2)					
	$^{67}\text{Zn}^{2+}$ (1)					
Погрешность		$\pm 0.05$	$\pm 0.03$			

$^{67}\text{ZN}$  ( $eq^3$ ) и изменением главной компоненты тензора кристаллического ГЭП в узлах меди ( $eq_{kp}$ ), рассчитанной по модели точечных зарядов.

Синтез  $\text{RBa}_2\text{Cu}_3\text{O}_7$  проводился по керамической технологии с использованием радиоактивного изотопа  $^{67}\text{Cu}$ . Все контрольные образцы были однородными и при  $T \leq 80$  К переходили в сверхпроводящее состояние. Эмиссионные мессбауэровские спектры  $\text{RBa}_2\text{Cu}_3\text{O}_7$  снимались при 4.2 К с поглотителем  $^{67}\text{ZnS}$ . Типичные спектры приведены на рис. 1, а результаты измерений и обработки спектров сведены в таблицу. Переход от  $e^2Qq$  к  $eq^3$  осуществлялся по соотношению  $q^3 = e^2Qq/(1 - \gamma)eQ$  со значениями коэффициента Штернхеймера для иона  $\text{Zn}^{2+}$   $\gamma(\text{Zn}^{2+}) = -12.2$  [3] и квадрупольного момента ядра  $^{67}\text{Zn}$   $Q(^{67}\text{Zn}) = 0.17$  барн [4].

Расчет тензора кристаллического ГЭП в узлах меди решеток  $\text{RBa}_2\text{Cu}_3\text{O}_7$  ( $R = \text{Nd}, \text{Sm}, \text{Eu}, \text{Gd}, \text{Y}, \text{Ho}, \text{Er}, \text{Yb}$ ) проводился по методике, описанной в [2]; положение атомов в элементарной ячейке и параметры элементарной ячейки брались из работы [5]. Тензоры для узлов меди всех решеток  $\text{RBa}_2\text{Cu}_3\text{O}_7$  диагональны в кристаллических осях. Результаты расчета для модели  $\text{RBa}_2\text{Cu}_3\text{O}_7$ , предложенной авторами [2], приведены в таблице.

Как видно из рис. 1, эмиссионные мессбауэровские спектры керамик  $\text{RBa}_2\text{Cu}_3\text{O}_7$  представляют собой наложение двух квадрупольных триплетов, отвечающих центрам  $^{67}\text{Zn}^{2+}$  в узлах Cu (1) (менее интенсивный триплет) и Cu (2) (более интенсивный триплет). Из таблицы следует, что имеется тенденция к возрастанию  $e^2Qq$  по ряду  $\text{NdBa}_2\text{Cu}_3\text{O}_7 - \text{YbBa}_2\text{Cu}_3\text{O}_7$ . Аналогичные тенденции наблюдаются и для расчетных значений  $eq_{kp}$  для узлов Cu (1) и Cu (2). Однако, как видно из таблицы, для модели  $\text{R}^{3.14+}\text{Ba}_2^{2.09+}\text{Cu}(1)^{1.89+}\text{Cu}(2)_2^{1.89+}\text{O}(1)_2^{2.09-} \cdot \text{O}(2)_2^{1.93-}\text{O}(3)_2^{1.81-}\text{O}(4)^{1.34-}$  [2] отсутствует согласие между количественными значениями главной компоненты тензора ГЭП, полученными экспериментальным и расчетным путем как для центров  $^{67}\text{Zn}^{2+}$  (1), так и для центров  $^{67}\text{Zn}$  (2). Этот факт объясняется, с нашей точки зрения, неопределенностью значения  $\gamma(\text{Zn}^{2+})$  и неочевидным выбором в качестве зарядов атомов их типичных валентностей.

Устранение этих проблем возможно, если проводить сравнение для узлов Cu(1) и Cu (2) отношений  $S^3 = (e^2Qq)_R/(e^2Qq)_Y$  и  $S_{kp} = (q_{kp})_R/(q_{kp})_Y$ . Здесь  $(e^2Qq)_R$ ,  $(q_{kp})_R$  и  $(e^2Qq)_Y$ ,  $(q_{kp})_Y$  относятся к керамикам  $\text{RBa}_2\text{Cu}_3\text{O}_7$  и  $\text{YBa}_2\text{Cu}_3\text{O}_7$ . Как

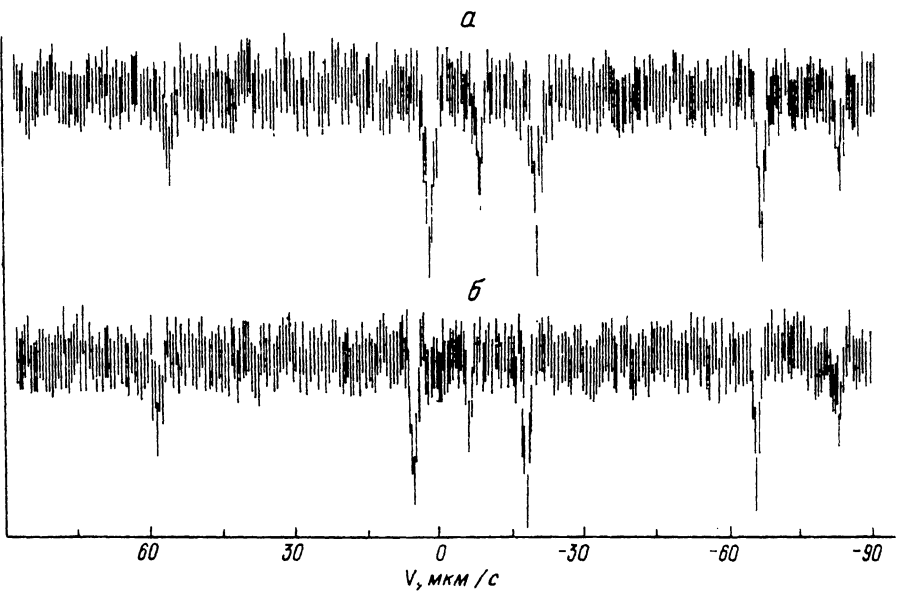


Рис. 1. Эмиссионные мессбауэровские спектры  $^{67}\text{Cu}(^{67}\text{Zn}) \text{NdBa}_2\text{Cu}_3\text{O}_7$  (а) и  $\text{YBa}_2\text{Cu}_3\text{O}_7$  (б).

видно из рис. 2, а, зависимость  $S^3 = f(S_{kp})$  хорошо описывается моделью, в которой возрастание  $e^2Qq$  для центров  $^{67}\text{Zn}^{2+}$  (2) по ряду  $\text{RBa}_2\text{Cu}_3\text{O}_7$  (от Nb к Yb) связано только с возрастанием  $eq_{kp}$  в соответствующих узлах.

Авторы [6] установили, что по ряду  $\text{NdBa}_2\text{Cu}_3\text{O}_7$ — $\text{YBa}_2\text{Cu}_3\text{O}_7$ , частота ядерного квадрупольного резонанса на ядрах  $^{63}\text{Cu}$  (2) уменьшается (см. таблицу). Очевидно, что и этот факт можно объяснить изменением  $eq_{kp}$  в узлах Cu (2). Действительно, для центров  $^{63}\text{Cu}^{2+}$  для экспериментальной величины  $e^2Qq$  можно записать

$$e^2Qq = (1-\gamma)e^2Qq_{kp} + (1-R)e^2Qq_{вал},$$

и если предположить, что для всех керамик  $(1-R)e^2Qq_{вал} = \text{const}$ , то должна иметь место зависимость

$$(\Delta e^2Qq)_R / (\Delta e^2Qq)_Y - (\Delta q_{kp})_R / (\Delta q_{kp})_Y = 0.$$

Здесь  $Q$  — квадрупольный момент ядра  $^{63}\text{Cu}$  ( $Q(^{63}\text{Cu}) = -0.211$  барн [7]);  $\gamma$ ,  $R$  — коэффициенты Штернхеймера для ионов  $\text{Cu}^{2+}$ ,

$$(\Delta e^2Qq)_R = (e^2Qq)_R - (e^2Qq)_{Nd},$$

$$(\Delta e^2Qq)_Y = (e^2Qq)_Y - (e^2Qq)_{Nd},$$

$$(\Delta q_{kp})_R = (q_{kp})_R - (q_{kp})_{Nd},$$

$$(\Delta q_{kp})_Y = (q_{kp})_Y - (q_{kp})_{Nd}.$$

Как видно из рис. 2, именно такая зависимость и наблюдается.

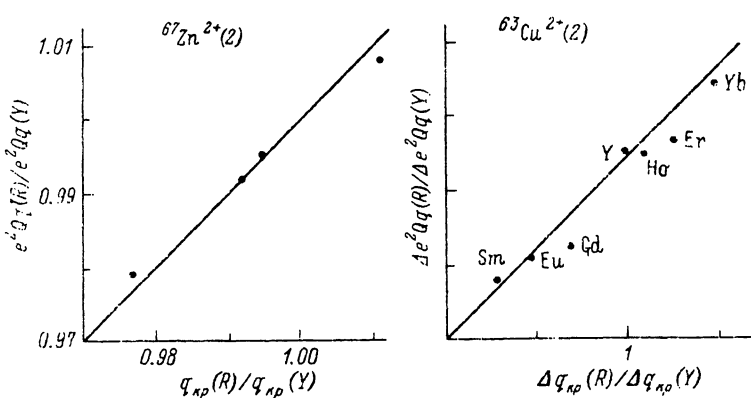


Рис. 2.

Отметим, что последнее обстоятельство открывает принципиально новую возможность экспериментального определения коэффициента Штернхаймера для ионов  $\text{Cu}^{2+}$  ( $\gamma$  ( $\text{Cu}^{2+}$ )), знание которого необходимо для выделения из экспериментальной величины  $e^2 Qq$  вкладов от ионов кристаллической решетки и валентных электронов меди. Для центров с замкнутой валентной оболочкой (например,  $\text{Cu}^+$ ,  $3d^{10}$ ) есть две возможности определения величины: теоретический расчет (для  $\text{Cu}^+$  он дает  $-15$  [8],  $-17$  [9],  $-13.77$  [10]) и путь сравнения экспериментального значения  $e^2 Qq$  с результатами расчета  $eq_{kp}$  (поскольку для таких центров вклад от валентных электронов отсутствует). В частности, такое сравнение, проведенное авторами [11] для случая  $\text{Cu}_2\text{O}$ , дает  $\gamma$  ( $\text{Cu}^+$ ) =  $-5.48$ .

Считается, что для центров с незавершенной валентной оболочкой существует лишь теоретическая возможность расчета величины (в частности, для центров  $\text{Cu}^{2+}$  получены значения  $-25$  [9],  $-7.59$  [12]). Ненадежность таких данных уже проиллюстрирована на примере определения величины  $\gamma$  ( $\text{Cu}^+$ ). Поскольку в ряду  $\text{NdBa}_2\text{Cu}_3\text{O}_7$ — $\text{YBa}_2\text{Cu}_3\text{O}_7$  для центров  $^{63}\text{Cu}^{2+}$  (2) изменение величины  $e^2 Qq$  связано с изменением только  $eq_{kp}$ , то согласование экспериментальной разности  $(e^2 Qq)_{\text{Nd}} - (e^2 Qq)_{\text{Yb}} = 4.4$  МГц с расчетной разностью  $(q_{kp})_{\text{Nd}} - (q_{kp})_{\text{Yb}} = -0.0189$   $e/\text{\AA}^3$  позволяет получить экспериментально значение  $\gamma$  ( $\text{Cu}^{2+}$ ) =  $-31$ .

Если для решетки



использовать результаты наших расчетов тензора кристаллического ГЭП в узлах меди  $\text{Cu}$  (1) и  $\text{Cu}$  (2), а также данные авторов [13], определивших с точностью до знака компоненты тензоров суммарного ГЭП в узлах  $^{63}\text{Cu}$  (1) и  $^{63}\text{Cu}$  (2), то значения  $\gamma$  ( $\text{Cu}^{2+}$ ) =  $-31$  и  $Q$  ( $^{63}\text{Cu}$ ) =  $-0.211$  барн приводят к следующим результатам:

узлы  $^{63}\text{Cu}$  (1)

$$eQV_{\text{вал } aa}(1-R) = -189,$$

$$eQV_{\text{вал } ee}(1-R) = -30,$$

$$eQV_{\text{вал } cc}(1-R) = +219 \text{ МГц},$$

узлы  $^{63}\text{Cu}$  (2)

$$eQV_{\text{вал} aa}(1-R) = -97,$$

$$eQV_{\text{вал} bb}(1-R) = -97,$$

$$eQV_{\text{вал} cc}(1-R) = +194 \text{ МГц.}$$

Таким образом, главные компоненты тензоров валентного ГЭП для  $^{63}\text{Cu}$  (1) и  $^{63}\text{Cu}$  (2) примерно одинаковы и главные оси этих тензоров совпадают с осью  $c$ .

### Список литературы

- [1] Adrian F. J. // Phys. Rev. B. 1988. V. 38. P. 2426.
- [2] Насрединов Ф. С., Мастеров В. Ф., Серегин П. П., Серегин Н. П. // ЖЭТФ. 1991. Т. 99. С. 1027.
- [3] Sternheimer R. M. // Phys. Rev. 1966. V. 146. P. 140.
- [4] Foster A., Potzel W., Kalvins G. M. // Phys. B. 1980. V. 37. P. 209.
- [5] Tarascon J. M., McKinnon W. R., Greene L. N., Hull G. W., Vogel E. M. // Phys. Rev. B. 1967. V. 36. P. 226.
- [6] Itoh M., Karashima K., Kyogoka M., Aoki I. // Physika. C. 1989. V. 160. P. 177.
- [7] Sternheimer R. M. // Phys. Rev. 1967. V. 164. P. 10.
- [8] Sternheimer R. M., Foley H. // Phys. Rev. 1956. V. 102. P. 781.
- [9] Watson R. E., Freeman A. J. // Phys. Rev. 1963. V. 131. P. 250.
- [10] Семин Г. К., Бабешкина Т. А., Якобсон Г. Г. Применение ядерного квадрупольного резонанса в химии. М., 1972. 536 с.
- [11] Garcia M. E., Bennemann K. H. // Phys. Rev. B. 1989. V. 40. P. 8809.
- [12] Gupta R. P., Sen S. K. // Phys. Rev. A. 1973. V. 8. P. 1169.
- [13] Pennington C. H., Duzand D. J., Slichter C. P., Rice J. P., Bukoneski E. D., Ginsberg D. M. // Phys. Rev. B. 1989. V. 39. P. 2902.

Физико-технический институт  
им. А. Ф. Иоффе РАН  
Санкт-Петербург

Поступило в Редакцию  
17 мая 1992 г.

УДК 539.12

© Физика твердого тела, том 34, № 10, 1992  
Solid State Physics, vol. 34, N 10, 1992

## АКУСТИЧЕСКАЯ САМОИНДУЦИРОВАННАЯ ПРОЗРАЧНОСТЬ В ГИРОТРОПНЫХ СРЕДАХ

Г. Т. Адамашвили, М. Д. Джинчелайшвили, Р. Р. Хомерики

При распространении в среде линейно-поляризованной акустической волны (ЛПВ) в определенных ситуациях наблюдается поворот плоскости поляризации. Это явление объясняется тем, что ЛПВ может быть рассмотрена как состоящая из двух компонент с противоположными направлениями вращения, законы дисперсии которых могут быть различными. Существуют два основных механизма, приводящих к изменению плоскости поляризации акустической волны. Первый механизм обусловлен пространственной дисперсией в гиротропных (нецентрально-симметричных) кристаллах [1], а второй — взаимодействием акустической волны с парамагнитными примесями [2].

Цель настоящей работы — рассмотреть проявление этих механизмов в случае, когда взаимодействие акустической волны с парамагнитными примесями носит